

前田建設 正会員 内田 明  
東京工業大学 正会員 長瀬 重義

### 1. まえがき

近年、鉄骨鉄筋コンクリート構造はコンクリート構造・鋼構造と並んで第3の構造としての位置を確立しつつあり、耐荷能力・じん性・施工性等が優れています。今後さらに適用範囲が拡大されるものと想される。また最近では高強度コンクリートの施工法も普及し、高強度鋼材との併用により鉄骨鉄筋コンクリート断面をより小さくすることも可能になると考えられる。一方、鉄骨は異形鉄筋に比べて着強度が劣る、そこで鉄骨鉄筋コンクリート部材に発生するひびわれは分散性が悪く個々のひびわれ幅は大きくなると言われています。はりや偏心力の大きさは柱のように使用限界状態とひびわれに対する検討を行なう必要のある部材に高強度鋼を用いる場合、ひびわれ性状を的確に把握しておく必要がある。しかしながら、鉄骨鉄筋コンクリート部材のひびわれに関する研究は比較的少なく、ひびわれ幅を精度良く推定することは現在のところ困難であり、この解決のためににはひびわれ幅を合理的に評価する手法を確立することが肝要である。

本報告は、このような観点から高強度鋼材と高強度コンクリートを用いた鉄骨鉄筋コンクリート部材の曲げ実験を実施しひびわれ性状を調べるとともに、高強度鋼材の鉄骨鉄筋コンクリートへの適用性についても検討を加えたものである。

### 2. 実験方法

実験に用いた試験体の形状寸法は図-1に示すとおりであり、断面30cm×40cm、長さ360cmとした。実験上考慮したパラメータは、①鉄骨と鋼材の比率( $A_{ss}/A_s$ 、ここで、 $A_{ss}$ 、 $A_s$ はそれぞれ引張側の鉄骨および鋼材断面積である)、②鉄骨とコンクリートの付着の有無、③鉄筋端(D16, D10)であり、パラメータの組み合せを打設してコンクリートの強度とともに表-1に示す。鉄骨はすべて60kg/mm<sup>2</sup>級の高強度鋼材を使用して組み立てH型鋼とし、溶接時の残留応力を除去するために焼純処理を行なった。鉄骨の形状寸法はH 250×116×12×6×4000であり、フランジおよびウェブの降伏点はそれぞれ5610 kg/cm<sup>2</sup>、5730 kg/cm<sup>2</sup>であった。また、鉄筋の降伏点はD16、D10に対してそれぞれ3960 kg/cm<sup>2</sup>、4070 kg/cm<sup>2</sup>であった。試験体への加力は、等モーメント区間100cm、せん断スパン110cmとした2点載荷により行なった。なお、ひびわれ幅の測定は、等モーメント区間にかけて引張鋼材位置に標点間隔10cmで90cmに渡って取り付けたコニタクトボルト間にコニタクトゲージを用いて測定することによつて求めた。

表-1 試験体の諸元

試験体名	鋼材比 $A_s/A_c(%)$	鉄骨 鋼材比 $A_{ss}/A_g(%)$	鉄筋	付着の有無	コンクリート 強度(kg/cm <sup>2</sup> )
H-0	3.45	100	—	有	685
H-3D16	4.45	70	3D16	〃	564
H-8D10	4.40	〃	8D10	〃	732
H-3D16	4.45	〃	3D16	無	732
H-7D16	5.77	50	7D16	有	593
10D16	3.32	0	10D16	—	593

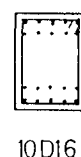
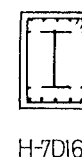
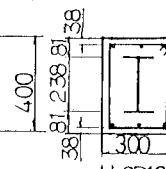
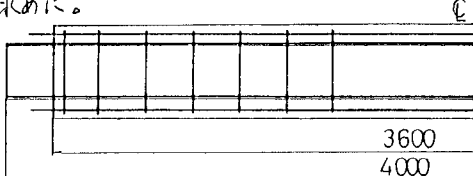


図-1 試験体の形状寸法

### 3. 結果と考察

表-2 ひびわれ幅の実測結果

表-2は、各試験体の許容荷重およびその1.5倍におけるひびわれ本数と平均・最大ひびわれ幅の実測結果を示している。ひびわれ本数は  $A_{ss}/A_s$  が小さくなるほど多く、また同一  $A_{ss}/A_s$  では鉄筋径を小さくした試験体の方がひびわれは分散した。その結果、ひびわれ分散のよい試験体ほど平均ひびわれ幅・最大ひびわれ幅とも減少してみる。

鉄骨鉄筋コンクリートのひびわれに対する鉄筋が極めて効果的であることがわかる。なお、H-3D16 は H-3D16 と同一断面で鉄骨の付着をグリースを塗ることによつて切ったものであるが、平均・最大ひびわれ幅とも相当大きくなつてあり、鉄骨の付着力もひびわれ幅を小さくする上で無視できない影響を及ぼしている。なお、表中の計算値は鉄骨のウェブを無視しフランジを引張鉄筋と同一の鉄筋径に換算して、丸鋼または異形鉄筋として CEB 方式により計算した平均ひびわれ幅を示している。H-0 および H-3D16 を除けば、丸鋼として計算した値が実測値とよく一致している。

図-2 は引張鉄筋の応力度と平均ひびわれ幅の関係を表したものであるが、断面の構成によつて傾向が大きく異り、いろいろ。このことは、鉄骨鉄筋コンクリートのひびわれを評価する上で、鉄骨の付着性状・鉄筋径とともに  $A_{ss}/A_s$  等のパラメータを考慮することの必要性を示唆しているものと考えられる。 $A_{ss}/A_s$  に対する最大ひびわれ幅の関係を鉄筋応力度をパラメータとして示すと図-3 が得られる。各応力度とも、 $A_{ss}/A_s$  が小さくなるにつれて最大ひびわれ幅は小さくなり、 $A_{ss}/A_s$  が鋼材の応力度を制限している指針の考え方とは妥当なものであると判断される。しかししながら、許容得る最大ひびわれ幅を  $0.2 \text{ mm}$  とした場合、本実験の範囲では  $A_{ss}/A_s$  が 70% および 50% の部材に対して鋼材の許容応力度を  $2300 \text{ kg/cm}^2$ ,  $2500 \text{ kg/cm}^2$  程度まで大きくすることができますとのと思われる。それゆえ、 $A_{ss}/A_s$  の大きさによつては、高強度鋼材も十分に適用可能であるものと考えられる。

最後に、本実験を行なうに際し、協力いただいた浜松市役所の増田街君に感謝致います。

(参考文献)

- 1) 鉄骨鉄筋コンクリート構造設計指針・同解説、昭和 52 年 6 月

試験体	許容荷重				許容荷重 × 1.5							
	ひびわれ 本数	平均ひびわれ幅		最大ひびわれ幅	ひびわれ 本数	平均ひびわれ幅		最大ひびわれ幅				
		実測	計算値	丸鋼	異形	実測	計算値	丸鋼				
H-0	4	0.280	0.212	0.165	0.320	1.14	4	0.388	0.291	0.236	0.447	1.15
H-3D16	7	0.160	0.128	0.093	0.236	1.48	7	0.293	0.205	0.159	0.441	1.51
H-3D16	5	0.126	0.133	0.101	0.163	1.29	6	0.193	0.207	0.163	0.232	1.20
H-8D10	7	0.094	0.092	0.072	0.127	1.35	10	0.118	0.145	0.122	0.170	1.44
H-7D16	7	0.096	0.104	0.081	0.118	1.23	8	0.143	0.161	0.131	0.207	1.45
10D16	8	0.075	—	0.084	0.096	1.28	10	0.144	—	0.141	0.178	1.56

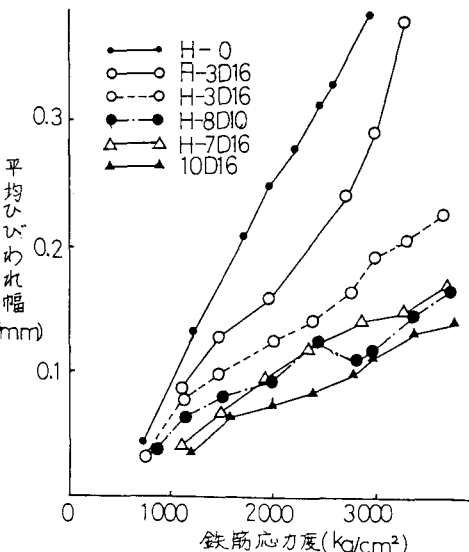


図-2 鉄筋応力度と平均ひびわれ幅の関係

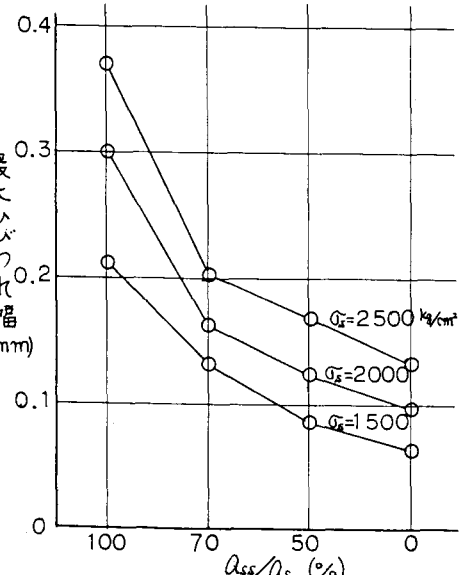


図-3  $A_{ss}/A_s$  と最大ひびわれ幅の関係